Interazioni Elettrodeboli

prof. Francesco Ragusa Università di Milano

Lezione n. 14

22,11,2022

Tau-Theta puzzle. Esperimenti allo specchio Violazione della parità: Esperimento di Wu Violazione di C - Invarianza CP Termini P-violating nell'Hamiltoniana Polarizzazione nel decadimento β

anno accademico 2022-2023

Il "heta- au puzzle"

- Nel periodo iniziale delle scoperte delle particelle strane succedeva che modi di decadimento diversi venissero confusi per particelle diverse
- Tuttavia, con l'aumento della precisione sulla misura delle masse si comprese di cosa si trattava
- Per qualche tempo rimase un paradosso: il "heta au puzzle"
- Due particelle (oggi si sa che è la stessa particella K^+):
 - Stessa massa
 - · Stessa vita media
 - · Differenti parità intrinseche

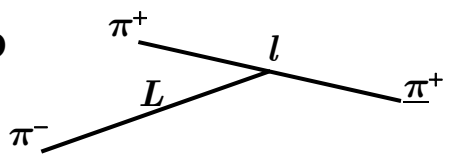
Decadimento	m (MeV)	$\tau (10^{-8} \mathrm{s})$
$\theta^+ \!$	494.0±1.0	1.21±0.02
$\tau^+ \!$	493.8±1.0	1.19±0.05

- Consideriamo infatti la particella heta (di spin S)
 - · Lo stato iniziale è un autostato del momento angolare
 - Anche lo stato finale deve essere un autostato del momento angolare
 - Nello stato finale due particelle di spin 0 o deve essere $Y_{lm}(heta,\!\phi)$
 - Parità dello stato finale $\xi_{\pi} \xi_{\pi} (-1)^l = (-1)^l$
 - Poiché S=l la particella θ può avere solo spin-parità: $\xi_{\theta}=(-1)^S$

$$(-1)^S \rightarrow S^{\xi} = 0^+, 1^-, 2^+, 3^-, \dots$$

Il "heta- au puzzle"

- Consideriamo ora la particella au che decade in 3 pioni
 - Anche in questo caso un autostato del momento angolare
 - Anche lo stato finale (3 particelle) deve essere autostato
 - Composizione di due momenti angolari



- ullet Chiamiamo l il momento angolare orbitale dei due pioni positivi
- ullet Chiamiamo L il momento angolare orbitale del pione negativo rispetto agli altri due
- Se lo spin della particella au fosse S=0 allora

$$|L-l| \le S \le L+l \rightarrow L=l$$

$$L = l \rightarrow \xi_{\tau} = (-1)^3 (-1)^{l+L} = -1$$

• Quindi se heta e au avessero spin S=0 avrebbero parità differente ($\xi_{ heta}=(-1)^S$)

Il "heta- au puzzle"

ullet Per altri valori dello spin non \dot{ullet} detto che L=l

$$|L - l| \le S \le L + l$$

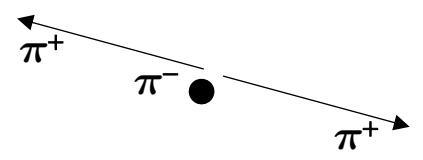
- Selezioniamo 2 configurazioni cinematiche che assicurino che L e l abbiano valori ben definiti anche se lo spin S non è nullo
- π^- ha la massima energia



- $\pi^+\pi^+$ relativamente a riposo
 - $l = 0 \rightarrow S = L$ $\xi_{\tau} = (-1)^3 (-1)^L = -(-1)^S$

$$\xi_{\tau} \neq \xi_{\theta} = (-1)^{S}$$

• π^- ha la minima energia ($E_{\pi^-}\!\!=0$)



- π^+ a riposo rispetto a $\pi^+\pi^+$
 - $L=0 \rightarrow S=l$

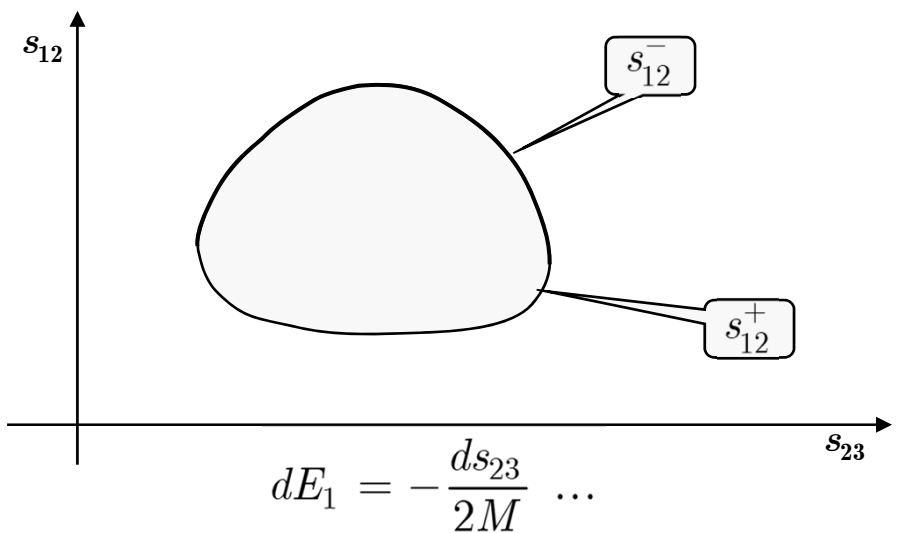
$$\xi_{\tau} = (-1)^3 (-1)^l = -(-1)^S$$

$$\xi_{\tau} \neq \xi_{\theta} = (-1)^{S}$$

- Sulla base di queste osservazioni Dalitz concluse che
 - Se la particella au decade in queste regioni cinematiche allora la sua parità è differente da quella della particella heta
- · Occorre misurare l'elemento di matrice
 - Dalitz Plot

Il Dalitz Plot

- Abbiamo già studiato la cinematica del decadimento a 3 corpi
 - Abbiamo visto che lo spazio delle fasi espresso in funzione delle energie di due particelle è popolato uniformemente



$$d\Phi = \frac{1}{(2\pi)^3} \frac{1}{4} dE_1 dE_2$$

$$\frac{d\Phi}{dE_1 dE_2} = \frac{1}{(2\pi)^3} \frac{1}{4}$$

$$d\Gamma = \frac{1}{2m_A} |\mathfrak{M}|^2 d\Phi_n$$

- Pertanto
 - Si misurano le energie dei prodotti di decadimento
 - ullet Si studia la distribuzione di questi decadimenti nel piano E_1-E_2
 - La distribuzione è una misura dell'elemento di matrice
- Pertanto se la parità fosse conservata l'elemento di matrice dovrebbe essere nullo nelle regioni che abbiamo individuato

Dalitz Plot

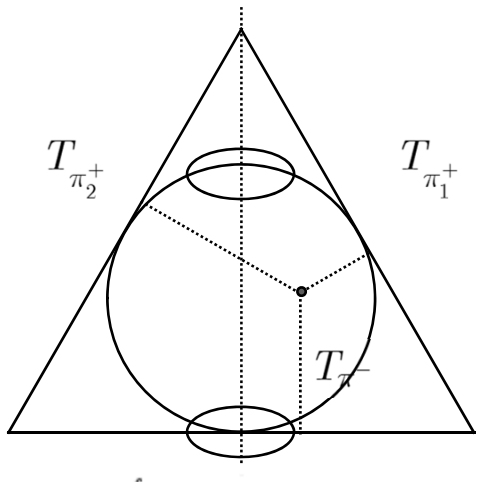
• Spesso il Dalitz Plot viene rappresentato all'interno di un triangolo equilatero

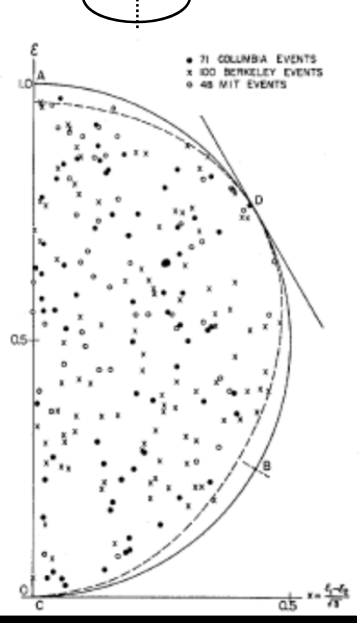
• Un evento è rappresentato da un punto all'interno del triangolo

· La distanza dai lati è proporzionale all'energia cinetica

• Si utilizza la proprietà dei triangoli equilateri per esprimere la conservazione dell'energia $T_1+T_2+T_3=Q$

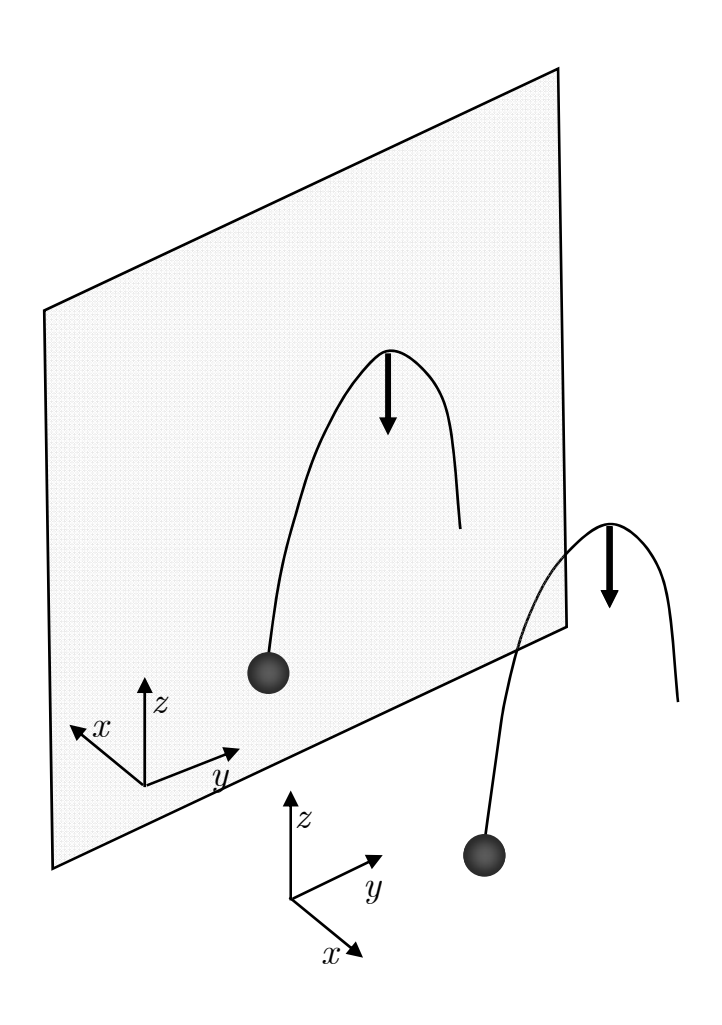
- In un'approssimazione non relativistica la regione fisica è interna alla circonferenza
- Inoltre dobbiamo avere simmetria fra π_1 e π_2
- Il ragionamento di Dalitz era:
 - Se il decadimento della particella au popola le regioni cinematiche $T_{\pi^-}\sim 0$ $T_{\pi^-}\sim T_{\rm max}$ allora la sua parità è differente da quella della particella heta
- L'osservazione sperimentale mostra che le regioni sono popolate
 - Pertanto:
 - O sono particelle diverse
 - O la parità non è conservata





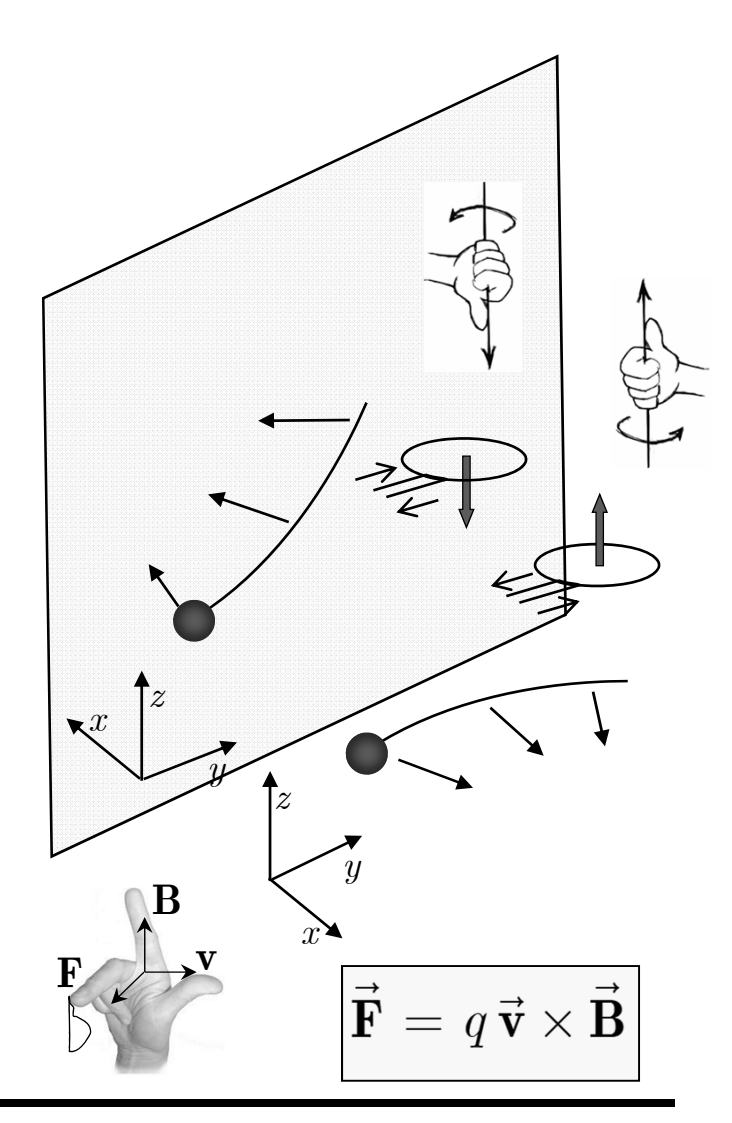
Esperimenti allo Specchio

- Le leggi della fisica classica possiedono una proprietà di invarianza a prima vista ovvia
- Consideriamo un esperimento possibile
 - Ad esempio il moto di un oggetto sotto l'effetto del campo gravitazionale
- Ciò che si ottiene osservando l'esperimento allo specchio è anch'esso un esperimento possibile e realizzabile
 - In tutti e due gli esperimenti la forza di gravità si calcola allo stesso modo:
 - È diretta verso il centro della terra o, approssimativamente, verso il basso
- Il moto di una massa sotto l'effetto del campo gravitazionale è invariante per riflessioni spaziali



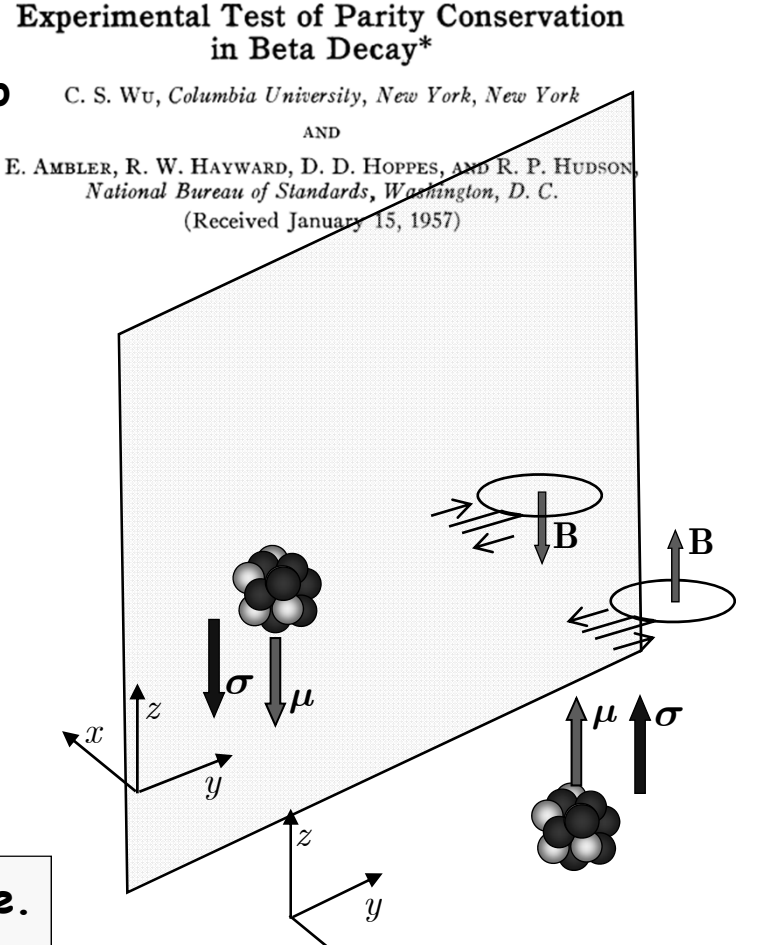
Esperimenti allo Specchio

- Un altro esperimento possibile è il moto di una particella carica in presenza di un campo magnetico
 - La spira genera un campo magnetico (regola della mano destra)
 - La Forza di Lorentz sulla carica si calcola con la regola della mano destra
- Se osserviamo lo stesso esperimento allo specchio ...
 - Vediamo un esperimento realizzabile
 - Anche nello specchio la spira genera un campo magnetico (calcolabile con la regola della mano destra)
 - La Forza di Lorentz si calcola con la regola della mano destra
- Si sarebbe potuta usare la mano sinistra
 - Usare la mano destra è una convenzione
- Anche la deflessione di una particella in campo magnetico è invariante per riflessione spaziale



L'esperimento di Wu et al.

- La prima verifica sperimentale della violazione della parità nel decadimento β :
 - Si allineano gli spin con un campo magnetico
 - Si scopre che il cobalto emette elettroni prevalentemente verso il basso in direzione
 - → opposta allo spin
- Nell'esperimento speculare $(x \to -x)$
 - ullet Il campo magnetico B_z cambia segno;
 - La direzione del momento magnetico μ (allineato al campo B) cambia segno
- Se la legge fosse la stessa ...
- Ci aspetteremmo pertanto che gli elettroni vadano prevalentemente verso l'alto
 - Invece, evidentemente, nell'esperimento riflesso nello specchio vanno verso il basso
- L'esperimento visto allo specchio è impossibile.
 Ciò è dovuto al fatto che nell'esperimento reale si osserva una asimmetria

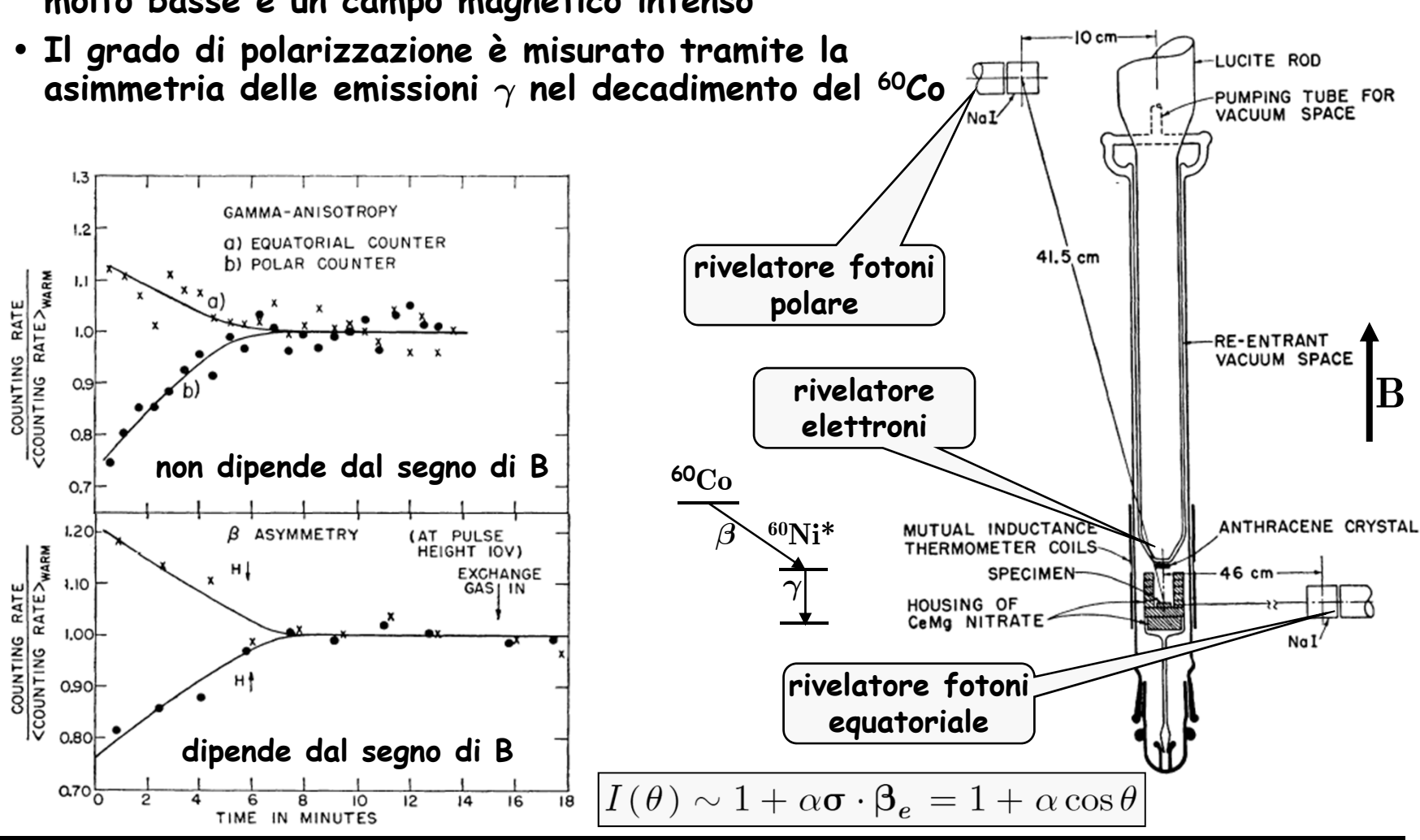


PHYSICAL REVIEW VOL 105 PAG. 1413

(1957)

L'esperimento di Wu et al.

• Per allineare gli spin occorre utilizzare temperature molto basse e un campo magnetico intenso



La violazione di C

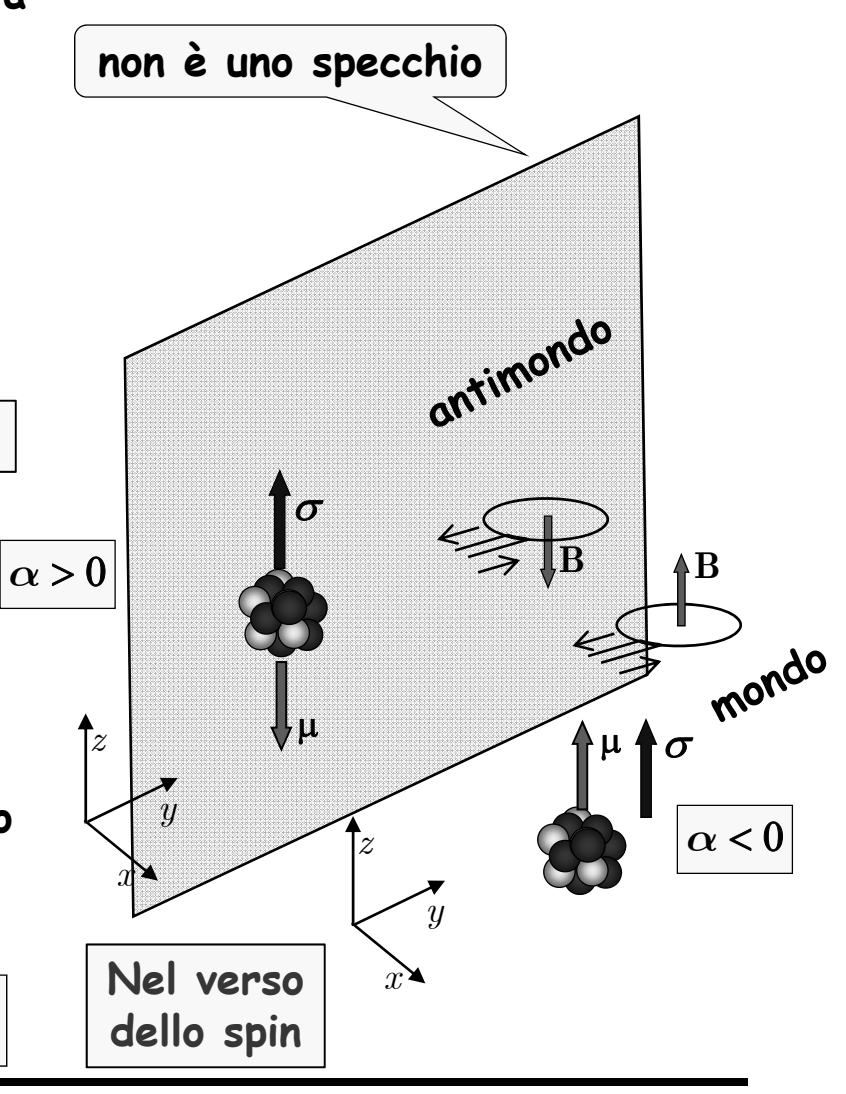
- Il decadimento eta viola anche la simmetria fra particelle e antiparticelle
 - La distribuzione angolare degli elettroni (o positroni) rispetto allo spin è

$$I(\theta) \sim 1 + \alpha \mathbf{\sigma} \cdot \mathbf{\beta}_e = 1 + \alpha \cos \theta$$

- Il coefficiente α
 - È negativo per la materia
 - È positivo per l'antimateria
- Se nel nostro esperimento sostituiamo la materia con l'antimateria
 - Il campo magnetico cambia direzione: la corrente è di antielettroni
 - ullet Il momento magnetico si allinea a B
 - Lo spin è in direzione opposta al momento magnetico: è un antinucleo $({\it Q}<0)$

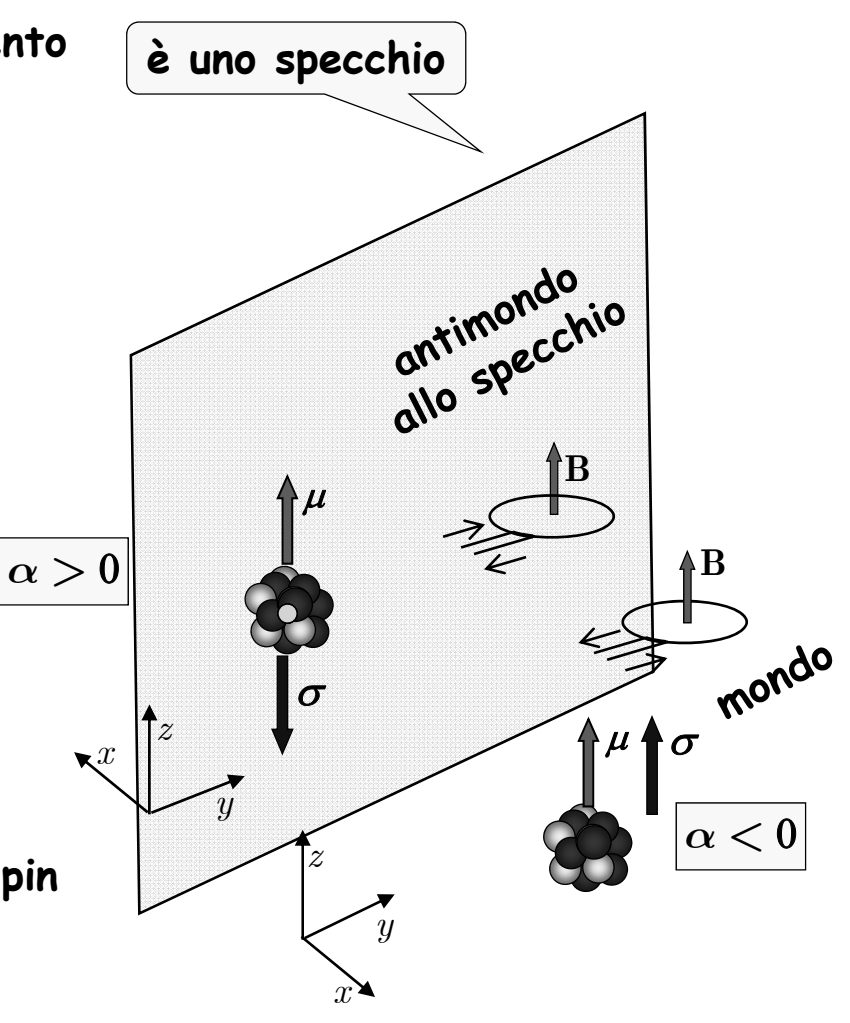
Lo vedremo

- Il coefficiente lpha diventa positivo
- Nell'anti-mondo i positroni vanno verso l'alto



Invarianza per trasformazioni CP

- ullet Se si applicano contemporaneamente le due trasformazioni C e P si ottiene un esperimento possibile che produce un risultato identico all'originale
- L'esperimento originale ...
- L'esperimento allo specchio e fatto di antimateria ...
 - Il campo magnetico punta verso l'alto
 - La spira è percorsa in senso inverso
 - La corrente è composta da antielettroni
 - Il momento magnetico punta verso l'alto
 - Si allinea a B
 - Lo spin punta verso il basso
 - È un antinucleo
 - Dato che si tratta di un antinucleo $\alpha > 0$
 - Gli elettroni vanno nella direzione dello spin verso il basso
- L'interazione debole è invariante per CP



La violazione della parità

• La scoperta che la parità è violata nei decadimenti eta impone una revisione dell'Hamiltoniana

$$igg| \mathcal{H}' = \sum_{i=S,V,A,T} C_i ig(\, \overline{\psi}_p \Gamma^i \psi_n \,ig) ig(\, \overline{\psi}_e \Gamma_i \psi_
u \,ig) + h.c.$$

- In particolare la richiesta che i singoli termini debbano essere scalari non ha più una motivazione fisica
- · L'Hamiltoniana più generale non deve necessariamente conservare la parità
 - Ogni termine può avere sia una parte scalare sia una parte pseudo-scalare

$$\mathcal{H}' = C_S \left(\overline{\psi}_p \psi_n \right) \left(\overline{\psi}_e \left(1 + \alpha_S \gamma^5 \right) \psi_\nu \right) + C_V \left(\overline{\psi}_p \gamma^\mu \psi_n \right) \left(\overline{\psi}_e \left(1 + \alpha_V \gamma^5 \right) \gamma_\mu \psi_\nu \right) + C_A \left(\overline{\psi}_p \gamma^5 \gamma^\mu \psi_n \right) \left(\overline{\psi}_e \left(1 + \alpha_A \gamma^5 \right) \gamma^5 \gamma_\mu \psi_\nu \right) + C_T \left(\overline{\psi}_p \sigma^{\mu\nu} \psi_n \right) \left(\overline{\psi}_e \left(1 + \alpha_T \gamma^5 \right) \sigma_{\mu\nu} \psi_\nu \right)$$

• Pertanto l'Hamiltoniana risulta composta da due termini

$$\mathcal{H}' = \mathcal{H}'^{PC} + \mathcal{H}'^{PV}$$

ullet La parte PV dell'Hamiltoniana contiene termini pseudoscalari

$$\mathcal{H}^{\prime PV} = \alpha_S C_S \left(\overline{\psi}_p \psi_n \right) \left(\overline{\psi}_e \gamma^5 \psi_\nu \right) + \alpha_V C_V \left(\overline{\psi}_p \gamma^\mu \psi_n \right) \left(\overline{\psi}_e \gamma^5 \gamma_\mu \psi_\nu \right) + \alpha_T C_T \left(\overline{\psi}_p \sigma^{\mu\nu} \psi_n \right) \left(\overline{\psi}_e \gamma^5 \sigma_{\mu\nu} \psi_\nu \right) + \alpha_T C_T \left(\overline{\psi}_p \sigma^{\mu\nu} \psi_n \right) \left(\overline{\psi}_e \gamma^5 \sigma_{\mu\nu} \psi_\nu \right)$$

La violazione della parità

ullet Il termine PC (Parity Conserving) è quello che abbiamo studiato fino ad ora ed è pari per trasformazioni di inversione

$$\mathbb{P}\mathcal{H}'^{PC}\mathbb{P}^{-1}=\mathcal{H}'^{PC}$$

ullet Il nuovo termine PV (Parity Violating) contiene prodotti di grandezze che cambiano segno (odd) per trasformazioni di inversione

$$\mathbb{P}\mathcal{H}'^{PV}\mathbb{P}^{-1} = -\mathcal{H}'^{PV}$$

- Ricordiamo che l'ampiezza di transizione è costruita con una serie perturbativa in funzione di \mathcal{H}'
 - In particolare al primo ordine

$$\mathcal{A}_{\mathit{fi}} = -i \int d^4x \langle p e^- \overline{
u} | \mathcal{H}_{\mathit{I}}' | n
angle$$

- ullet Una transizione è permessa se l'elemento di matrice di \mathcal{H}' è non nullo
- Una transizione è proibita se l'elemento di matrice di \mathcal{H}' è nullo
- Consideriamo due autostati di \mathbb{P} | a> e | b> con parità intrinseca differente

$$\mathbb{P}|a\rangle = +|a\rangle \qquad \qquad \mathbb{P}|b\rangle = -|b\rangle$$

Si può dimostrare che

$$\langle a | \mathcal{H}'^{PC} | b \rangle = 0$$
 $\langle a | \mathcal{H}'^{PV} | b \rangle \neq 0$

La violazione della parità

ullet Cominciamo con l'elemento di matrice del termine PC fra due autostati di ${\mathbb P}$ con parità diversa

$$\langle a | \mathcal{H}'^{PC} | b \rangle = \langle a | \mathbb{P}^{-1} \mathbb{P} \mathcal{H}'^{PC} \mathbb{P}^{-1} \mathbb{P} | b \rangle = (\langle a | +) \mathbb{P} \mathcal{H}'^{PC} \mathbb{P}^{-1} (-|b\rangle)$$

$$= -\langle a | \mathbb{P} \mathcal{H}'^{PC} \mathbb{P}^{-1} | b \rangle = -\langle a | (+\mathcal{H}'^{PC}) | b \rangle = -\langle a | \mathcal{H}'^{PC} | b \rangle$$

Quindi

$$|\langle a | \mathcal{H}'^{PC} | b \rangle = 0$$

ullet Calcoliamo adesso l'elemento di matrice del termine PV fra due autostati di ${\mathbb P}$ con parità diversa

$$\begin{aligned} \langle a \,|\, \mathcal{H}'^{PV} \,|\, b \rangle &= \langle a \,|\, \mathbb{P}^{-1} \mathbb{P} \mathcal{H}'^{PV} \mathbb{P}^{-1} \mathbb{P} \,|\, b \rangle = (\langle a \,|\, +\,)\, \mathbb{P} \mathcal{H}'^{PV} \mathbb{P}^{-1} \,(-|\, b \rangle) \\ &= -\langle a \,|\, \mathbb{P} \mathcal{H}'^{PV} \mathbb{P}^{-1} \,|\, b \rangle &= -\langle a \,|\, \left(-\mathcal{H}'^{PV} \,\right) \,|\, b \rangle = +\langle a \,|\, \mathcal{H}^{PV}_{int} \,|\, b \rangle \end{aligned}$$

Quindi è possibile che

$$\langle a | \mathcal{H}'^{PV} | b \rangle \neq 0$$

• Analogamente si può dimostrare che per due autostati di ${\mathbb P}$ con la stessa parità, ad esempio

$$\mathbb{P} |a\rangle = +|a\rangle$$

$$\mathbb{P}|b\rangle = +|b\rangle$$

$$\mathbb{P}|a\rangle = +|a\rangle \qquad \mathbb{P}|b\rangle = +|b\rangle \qquad \qquad |\langle a|\mathcal{H}'^{PC}|b\rangle \neq 0 \qquad |\langle a|\mathcal{H}'^{PV}|b\rangle = 0$$

$$\langle a | \mathcal{H}'^{PV} | b \rangle = 0$$





Conseguenze Fenomenologiche

- Le modifiche introdotte non alterano la parte nucleare e pertanto
 - Si mantiene la classificazione dei vari termini di interazione
 - Transizioni di Fermi e transizioni di Gamov-Teller con le regole di selezione sugli spin nucleari dedotte precedentemente
 - Fino a quando non si studiano processi con polarizzazione del nucleone iniziale non si hanno termini di interferenza $SA,\ ST,\ VA,\ VT$
- Gli elementi di matrice si calcolano sempre utilizzando la tecnica delle tracce
 - In particolare ricordiamo il calcolo dell'elemento di matrice di Fermi

$$\begin{split} |\mathfrak{M}_{F}|^{2} &= C_{S}^{2} 4m_{N}^{2} Tr \big[\big(\rlap{k} + m_{e} \, \big) \big(\rlap{k}' - m_{\nu} \, \big) \big] \\ &+ C_{V}^{2} 4m_{N}^{2} Tr \big[\big(\rlap{k} + m_{e} \, \big) \gamma^{0} \, \big(\rlap{k}' - m_{\nu} \, \big) \gamma^{0} \, \big] \\ &+ 2 \operatorname{Re} \big[C_{S} C_{V} 4m_{N}^{2} Tr \big[\big(\rlap{k} + m_{e} \, \big) \big(\rlap{k}' - m_{\nu} \, \big) \gamma^{0} \, \big] \big] \\ \bullet \text{ Assumendo } m_{\nu} &= \mathbf{0} \text{ (ipotesi non essenziale) diventa} \\ \hline |\mathfrak{M}_{F}|^{2} &= C_{S}^{2} 4m_{N}^{2} Tr \big[\big(\rlap{k} + m_{e} \, \big) \big(1 + \alpha_{S} \gamma^{5} \, \big) \rlap{k}' \big(1 - \alpha_{S} \gamma^{5} \, \big) \big\} } \\ \hline &+ C_{V}^{2} 4m_{N}^{2} Tr \big[\big(\rlap{k} + m_{e} \, \big) \big(1 + \alpha_{V} \gamma^{5} \, \big) \gamma^{0} \rlap{k}' \big(1 + \alpha_{V} \gamma^{5} \, \big) \gamma^{0} \, \big] \\ \\ &+ 2 \operatorname{Re} \big[C_{S} C_{V} 4m_{N}^{2} Tr \big[\big(\rlap{k} + m_{e} \, \big) \big(1 + \alpha_{S} \gamma^{5} \, \big) \rlap{k}' \big(1 + \alpha_{V} \gamma^{5} \, \big) \gamma^{0} \, \big] \big] \end{split}$$

Conseguenze Fenomenologiche

$$\begin{split} \overline{|\mathfrak{M}_{F}|^{2}} &= C_{S}^{2} 4 m_{N}^{2} Tr \left[\left(\cancel{k} + m_{e} \right) \left(1 + \alpha_{S} \gamma^{5} \right) \cancel{k}' \left(1 - \alpha_{S} \gamma^{5} \right) \right] \\ &+ C_{V}^{2} 4 m_{N}^{2} Tr \left[\left(\cancel{k} + m_{e} \right) \left(1 + \alpha_{V} \gamma^{5} \right) \gamma^{0} \cancel{k}' \left(1 + \alpha_{V} \gamma^{5} \right) \gamma^{0} \right] \\ &+ 2 \operatorname{Re} \left[C_{S} C_{V} 4 m_{N}^{2} Tr \left[\left(\cancel{k} + m_{e} \right) \left(1 + \alpha_{S} \gamma^{5} \right) \cancel{k}' \left(1 + \alpha_{V} \gamma^{5} \right) \gamma^{0} \right] \right] \end{split}$$

- Fare attenzione al segno del secondo operatore di vertice
 - · Ricordiamo infatti che la somma sugli stati di polarizzazione dava

 $Tr((\cancel{k} + m_e)\Gamma^m(\cancel{k'} - m_\nu)\overline{\Gamma}^l)$

· Abbiamo allora

$$\overline{\overline{\Gamma}}^{l} = \gamma^{0} \left(\Gamma^{l} \right)^{\dagger} \gamma^{0}$$

$$\overline{\left(1+\alpha_{S}\gamma^{5}\right)} = \gamma^{0}\left(1+\alpha_{S}\gamma^{5}\right)^{\dagger}\gamma^{0} = \gamma^{0}\left(1+\alpha_{S}\gamma^{5}\right)\gamma^{0} = 1-\alpha_{S}\gamma^{5}$$

• E anche

$$\overline{\left(1+\alpha_{V}\gamma^{5}\right)\gamma^{0}} = \gamma^{0}\left[\left(1+\alpha_{V}\gamma^{5}\right)\gamma^{0}\right]^{\dagger}\gamma^{0} = \gamma^{0}\gamma^{0}\left(1+\alpha_{V}\gamma^{5}\right)\gamma^{0} = \left(1+\alpha_{V}\gamma^{5}\right)\gamma^{0}$$

Gli elementi di matrice

• Le tracce possono essere semplicemente sviluppate ricordando le proprietà

$$Tr(I) = 4 \qquad Tr(\gamma^{\mu}\gamma^{\nu}) = 4g^{\mu,\nu} \qquad Tr(\phi b) = 4a \cdot b$$

$$Tr(\gamma^{\mu}\gamma^{\nu}\gamma^{\alpha}\gamma^{\beta}) = 4[g^{\mu,\nu}g^{\alpha,\beta} - g^{\mu,\alpha}g^{\nu,\beta} + g^{\mu,\beta}g^{\nu,a}]$$

$$Tr(\phi b \phi b) = 4[(a \cdot b)(c \cdot d) - (a \cdot c)(b \cdot d) + (a \cdot d)(b \cdot c)]$$

$$Tr(\gamma^{\mu}) = Tr(\gamma^{\mu}\gamma^{\nu}\gamma^{\delta}) = Tr(dispari) = 0$$

$$Tr(\gamma^{5}) = Tr(\gamma^{\mu}\gamma^{\nu}\gamma^{5}) = Tr(\gamma^{\mu}\gamma^{\nu}\gamma^{\delta}\gamma^{5}) = 0$$

$$Tr(\gamma^{\mu}\gamma^{\nu}\gamma^{\alpha}\gamma^{\beta}\gamma^{5}) = -4i\varepsilon^{\mu,\nu,\alpha,\beta}$$

$$Tr(\gamma^{\mu}\gamma^{\nu}\gamma^{\alpha}\gamma^{\beta}\gamma^{5}) = +4i\varepsilon_{\mu,\nu,\alpha,\beta}$$

• Per gli elementi di matrice si ottiene

$$\begin{split} & \overline{\left| \mathbf{\mathfrak{M}}_{GT} \right|^2} = 16 m_N^2 E_c E_{\nu} \cdot \\ & \cdot \left[3C_A^2 \left(1 + \alpha_A^2 \right) \left(1 - \frac{1}{3} \mathbf{\beta}_{\boldsymbol{e}} \cdot \mathbf{\beta}_{\boldsymbol{\nu}} \right) + 12 C_T^2 \left(1 + \alpha_T^2 \right) \left(1 + \frac{1}{3} \mathbf{\beta}_{\boldsymbol{e}} \cdot \mathbf{\beta}_{\boldsymbol{\nu}} \right) - 12 C_A C_T \left(1 - \alpha_A \alpha_T \right) \frac{m_c}{E_c} \right] \end{split}$$

Conseguenze Fenomenologiche

• Consideriamo ad esempio l'elemento di matrice di Fermi

$$\boxed{|\overline{\mathfrak{M}_F}|^2 = 16m_N^2 E_c E_\nu \left[C_S^2 \left(1 + \alpha_S^2 \right) \left(1 - \mathbf{\beta_e} \cdot \mathbf{\beta_\nu} \right) + C_V^2 \left(1 + \alpha_V^2 \right) \left(1 + \mathbf{\beta_e} \cdot \mathbf{\beta_\nu} \right) + 2C_S C_V \left(1 - \alpha_S \alpha_V \right) \frac{m_e}{E_c} \right]}$$

- L'assenza del termine di interferenza, dedotta dallo studio della forma dello spettro, ha conseguenze meno dirette
 - $C_S C_V (1 \alpha_S \alpha_V) = 0$
- Questo può succedere per una delle 3 condizioni

$$C_S = 0 C_V = 0 1 - \alpha_S \alpha_V = 0$$

- Pertanto risulta più complicato trarre conclusioni dagli esperimenti già visti
 - Per le correlazioni angolari non ci sono sostanziali differenze
 - Infatti cambia solo il valore numerico delle due costanti di accoppiamento

$$C_S^2 \rightarrow C_S^2 \left(1 + \alpha_S^2\right) \qquad C_V^2 \rightarrow C_V^2 \left(1 + \alpha_V^2\right)$$

- Occorre inventare nuovi esperimenti per determinare le nuove costanti
 - L'esperimento di Wu et al. fornisce le nuove informazioni necessarie
 - I calcoli per interpretare gli esperimenti sono però un po' più lunghi
 - I nuclei sono polarizzati
 - Non si annullano i termini di interferenza Fermi/Gamov-Teller

Elettroni polarizzati

• L'osservazione della direzione privilegiata di emissione degli elettroni nell'esperimento di Wu et al. ha una implicazione molto importante sulla direzione dello spin (polarizzazione) dell'elettrone

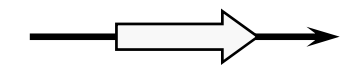


- Per conservare il momento angolare l'elettrone e il neutrino devono portare via una quantità $S=1{\cdot}\hbar$ di momento angolare
 - Il neutrino e l'elettrone devono avere gli spin paralleli
- Dall'esperimento di Wu gli elettroni sono emessi preferibilmente in basso
 - Più precisamente in direzione opposta allo spin del nucleo
- L'elettrone deve quindi essere polarizzato in direzione opposta alla sua direzione di moto: elettrone left-handed
- Verifichiamo se l'Hamiltoniana che abbiamo scritto prevede questo fenomeno
 - Calcoliamo la polarizzazione degli elettroni nel decadimento eta

• La polarizzazione degli elettroni è definita come

$$\wp = \frac{N_R - N_L}{N_R + N_L}$$

ullet Il numero degli elettroni Right-Handed è N_R



ullet Il numero degli elettroni Left-Handed è N_L



• I numeri N_R e N_L sono proporzionali alle larghezze di decadimento

$$N_{R,L}\,\sim \int d\Gamma_{R,L}$$

$$d\Gamma_{R,L} = rac{1}{2m_N} \overline{\left|\mathfrak{M}^{R,L}
ight|^2} d\Phi$$

ullet Come in precedenza l'elemento di matrice contiene interazioni S,V,A,T

$$\mathfrak{M}^{R,L} = \mathfrak{M}_S^{R,L} + \mathfrak{M}_V^{R,L} + \mathfrak{M}_A^{R,L} + \mathfrak{M}_T^{R,L}$$

$$\mathfrak{M}^{R,L} = \mathfrak{M}_S^{R,L} + \mathfrak{M}_V^{R,L} + \mathfrak{M}_A^{R,L} + \mathfrak{M}_T^{R,L}$$

- Rivediamo i singoli termini
 - Osserviamo in particolare la polarizzazione degli spinori dell'elettrone

• Scalare
$$\mathfrak{M}_{S}^{R,L}=C_{S}\left\langle 1
ight
angle \overline{u}_{e}\left(k,s_{R,L}
ight)\!\left(1+lpha_{S}\gamma^{5}
ight)\!v_{
u}\left(k'
ight)$$

• Vettoriale
$$\mathfrak{M}_{V}^{R,L}=C_{V}\left\langle 1
ight
angle \overline{u}_{e}\left(k,s_{R,L}
ight)\left(1+lpha_{V}\gamma^{5}
ight)\gamma^{0}v_{
u}\left(k'
ight)$$

• Vettoriale assiale
$$\mathfrak{M}_{A}^{R,L}=C_{A}\left\langle \sigma_{j}\right
angle \overline{u}_{e}\left(k,s_{R,L}\right)\left(1+lpha_{A}\gamma^{5}\right)\gamma^{5}\gamma^{j}v_{
u}\left(k'
ight)$$

• Tensoriale
$$\mathfrak{M}_{T}^{R,L}=2C_{T}\left\langle \sigma_{j}\right
angle \overline{u}_{e}\left(k,s_{R,L}\right)\left(1+lpha_{T}\gamma^{5}\right)\Sigma^{j}v_{\nu}\left(k'
ight)$$

- Il calcolo del quadrato del modulo procede in maniera analoga a quanto fatto precedentemente sommando su tutti gli stati di polarizzazione non osservati (n, p, ν)
 - Dato che sommiamo sulla polarizzazione iniziale (del neutrone) non ci sono termini di interferenza $SA,\,ST,\,VA,\,\mathrm{VT}$
 - Di nuovo abbiamo i due elementi di matrice di Fermi e di Gamov-Teller
 - Le somme sugli stati di polarizzazione si fanno con la tecnica delle tracce
 - La polarizzazione degli elettroni si introduce tramite i proiettori di spin
- L'elemento di matrice di Fermi è pertanto

$$\begin{array}{ccc}
 & p \\
 & \Gamma & e^{-}_{k} & (\not k + m_e)(1 + \gamma^5 \not s_{RL}) \\
 & k' & (\not k' - m_{\nu})
\end{array}$$

$$\begin{split} \overline{\left|\mathfrak{M}_{F}^{R,L}\right|^{2}} &= C_{S}^{2} 2 m_{N}^{2} Tr \Big[\big(\not k + m_{e} \big) \Big(1 + \gamma^{5} \not s_{R,L} \big) \Big(1 + \alpha_{S} \gamma^{5} \big) \not k' \Big(1 - \alpha_{S} \gamma^{5} \Big) \Big] + \\ &+ C_{V}^{2} 2 m_{N}^{2} Tr \Big[\big(\not k + m_{e} \big) \Big(1 + \gamma^{5} \not s_{R,L} \Big) \Big(1 + \alpha_{V} \gamma^{5} \Big) \gamma^{0} \not k' \Big(1 + \alpha_{V} \gamma^{5} \Big) \gamma^{0} \Big] + \\ &+ 2 \operatorname{Re} \Big[C_{S} C_{V} 2 m_{N}^{2} Tr \Big[\big(\not k + m_{e} \big) \Big(1 + \gamma^{5} \not s_{R,L} \Big) \Big(1 + \alpha_{S} \gamma^{5} \Big) \not k' \Big(1 + \alpha_{V} \gamma^{5} \Big) \gamma^{0} \Big] \Big] \end{split}$$

- Occorre definire i vettori di polarizzazione
 - Il vettore s_R definisce una polarizzazione parallela alla direzione di moto: polarizzazione Right-Handed
 - Il vettore polarizzazione ξ (nel sistema di riposo) è parallelo a p ($|\xi|=1$)

$$s^0 = \frac{\mathbf{k} \cdot \mathbf{\xi}}{m_e}$$

$$s_R^0 = \frac{\mathbf{k} \cdot \mathbf{\xi}}{m_e} = \frac{|\mathbf{k}|}{m_e}$$

$$\mathbf{s} = \mathbf{\xi} + \frac{(\mathbf{\xi} \cdot \mathbf{k})\mathbf{k}}{m_e(E_e + m_e)}$$

$$\mathbf{s} = \mathbf{\xi} + \frac{(\mathbf{\xi} \cdot \mathbf{k})\mathbf{k}}{m_e (E_e + m_e)} \qquad \mathbf{s}_R = \frac{\mathbf{k}}{|\mathbf{k}|} + \frac{|\mathbf{k}|\mathbf{k}}{m_e (E_e + m_e)} = \frac{m_e (E_e + m_e) + |\mathbf{k}|^2}{m_e (E_e + m_e)|\mathbf{k}|} \mathbf{k}$$

$$\mathbf{k}_{e} = rac{m_{e}E_{e} + E_{e}^{2}}{m_{e}\left(E_{e} + m_{e}
ight)|\mathbf{k}|}\mathbf{k}_{e} = rac{E_{e}\mathbf{k}_{e}}{m_{e}|\mathbf{k}|}$$

$$s_R = \left(\frac{|\mathbf{k}|}{m_e}, \frac{E_e}{m_e} \frac{\mathbf{k}}{|\mathbf{k}|}\right)$$

• Il vettore s_L si ottiene semplicemente cambiando $\xi
ightarrow -\xi$ e quindi

$$s_L = -s_R$$

• Ricordiamo la definizione di polarizzazione

$$\wp = \frac{N_R - N_L}{N_R + N_L}$$

• Il numero di elettroni per le due polarizzazioni è dato da

$$N_{R,L} \, \sim \int d\Gamma_{R,L} \qquad d\Gamma_{R,L} \, = rac{1}{2m_N} \overline{\left| rac{\mathfrak{M}^{R,L}}{2}
ight|^2} d\Phi$$

- Pertanto la polarizzazione è data da
 - \bullet L'integrale sullo spazio delle fasi è su tutte le variabili cinematiche escluso ${\cal E}_e$
 - Vedremo che \wp dipende dall'energia
- · Calcoliamo il numeratore
 - · Ricordiamo che

$$\wp = \frac{\int \left(\overline{\left| \mathfrak{M}^R \right|^2} - \overline{\left| \mathfrak{M}^L \right|^2} \right) d\Phi}{\int \left(\overline{\left| \mathfrak{M}^R \right|^2} + \overline{\left| \mathfrak{M}^L \right|^2} \right) d\Phi}$$

$$\not s_L = -\not s_R \qquad \dots (\not X + \gamma^5 \not s_R) \dots - \dots (\not X + \gamma^5 \not s_L) \dots = 2\gamma^5 \not s_R$$

$$\overline{\left|\mathfrak{M}_{F}^{R}\right|^{2}} - \overline{\left|\mathfrak{M}_{F}^{L}\right|^{2}} = C_{S}^{2} 2m_{N}^{2} Tr\left[\left(\cancel{k} + m_{e}\right) 2\gamma^{5} \cancel{s}_{R} \left(1 + \alpha_{S} \gamma^{5}\right) \cancel{k}' \left(1 - \alpha_{S} \gamma^{5}\right)\right] + C_{V}^{2} 2m_{N}^{2} Tr\left[\left(\cancel{k} + m_{e}\right) 2\gamma^{5} \cancel{s}_{R} \left(1 + \alpha_{V} \gamma^{5}\right) \gamma^{0} \cancel{k}' \left(1 + \alpha_{V} \gamma^{5}\right) \gamma^{0}\right] + 2\operatorname{Re}\left[C_{S} C_{V} 2m_{N}^{2} Tr\left[\left(\cancel{k} + m_{e}\right) 2\gamma^{5} \cancel{s}_{R} \left(1 + \alpha_{S} \gamma^{5}\right) \cancel{k}' \left(1 + \alpha_{V} \gamma^{5}\right) \gamma^{0}\right]\right]$$

Esaminiamo adesso un generico termine

commuta con k' anticommuta con k'

· Ad es. il termine scalare

$$\left|\overline{\mathfrak{M}_{F}^{R}}\right|^{2}-\left|\overline{\mathfrak{M}_{F}^{L}}\right|^{2}=C_{S}^{2}2m_{N}^{2}Tr\left[\left(\cancel{k}+m_{e}\right)2\gamma^{5}\cancel{s}_{R}\left(1+\alpha_{S}\gamma^{5}\right)\cancel{k}'\left(1-\alpha_{S}\gamma^{5}\right)\right]$$

- Possiamo trasportare ($1-lpha_S\gamma^5$) a sinistra trasformandolo in ($1+lpha_S\gamma^5$)
 - Ricordiamo che (γ^5) $^2=I$
 - Otteniamo pertanto $\left(1+\alpha_S\gamma^5\right)^2=1+2\alpha_S\gamma^5+\alpha_S^2$
- Introduciamo questi risultati nel calcolo

$$\begin{split} \overline{\left|\mathfrak{M}_{F}^{R}\right|^{2}} - \overline{\left|\mathfrak{M}_{F}^{L}\right|^{2}} &= 4C_{S}^{2}m_{N}^{2}Tr\left[\left(\cancel{k} + m_{e}\right)\sqrt{^{5}}\cancel{s}_{R}\right)\left(1 + \alpha_{S}\gamma^{5}\right)^{2}\cancel{k}'\right] + \\ &+ 4C_{V}^{2}m_{N}^{2}Tr\left[\left(\cancel{k} + m_{e}\right)\sqrt{^{5}}\cancel{s}_{R}\right)\left(1 + \alpha_{V}\gamma^{5}\right)^{2}\gamma^{0}\cancel{k}'\gamma^{0}\right] + \\ &+ 8\operatorname{Re}\left[C_{S}C_{V}m_{N}^{2}Tr\left[\left(\cancel{k} + m_{e}\right)\sqrt{^{5}}\cancel{s}_{R}\right)\left(1 + \alpha_{S}\gamma^{5}\right)\left(1 - \alpha_{V}\gamma^{5}\right)\cancel{k}'\gamma^{0}\right]\right] \end{split}$$

• Possiamo ancora anticommutare $oldsymbol{\gamma}^5$ con $oldsymbol{\sharp}_R$

$$\gamma^{5} \left(1 + \alpha_{S,V} \gamma^{5} \right)^{2} = \gamma^{5} \left(1 + 2\alpha_{S,V} \gamma^{5} + \alpha_{S,V}^{2} \right) = \left(1 + \alpha_{S,V}^{2} \right) \gamma^{5} + 2\alpha_{S,V}$$

Per il terzo termine

$$\gamma^{5} (1 + \alpha_{S} \gamma^{5}) (1 - \alpha_{V} \gamma^{5}) = \gamma^{5} (1 - \alpha_{V} \gamma^{5} + \alpha_{S} \gamma^{5} - \alpha_{S} \alpha_{V})$$

$$= \gamma^{5} (1 - \alpha_{S} \alpha_{V}) + \gamma^{5} (\alpha_{S} - \alpha_{V}) \gamma^{5} = (1 - \alpha_{S} \alpha_{V}) \gamma^{5} + (\alpha_{S} - \alpha_{V})$$

Introducendo nell'espressione

$$\overline{\left|\mathfrak{M}_{F}^{R}\right|^{2}} - \overline{\left|\mathfrak{M}_{F}^{L}\right|^{2}} = -4C_{S}^{2}m_{N}^{2}Tr\left[\left(\cancel{k} + m_{e}\right)\cancel{s}_{R}\left(\left(1 + \alpha_{S}^{2}\right)\gamma^{5} + 2\alpha_{S}\right)\cancel{k}'\right] + \\
-4C_{V}^{2}m_{N}^{2}Tr\left[\left(\cancel{k} + m_{e}\right)\cancel{s}_{R}\left(\left(1 + \alpha_{V}^{2}\right)\gamma^{5} + 2\alpha_{V}\right)\gamma^{0}\cancel{k}'\gamma^{0}\right] + \\
-8\operatorname{Re}\left[C_{S}C_{V}m_{N}^{2}Tr\left[\left(\cancel{k} + m_{e}\right)\cancel{s}_{R}\left(\left(1 - \alpha_{S}\alpha_{V}\right)\gamma^{5} + (\alpha_{S} - \alpha_{V})\right)\cancel{k}'\gamma^{0}\right]\right]$$

• E finalmente

$$\begin{array}{ccc} & & & \\$$

$$\begin{split} \overline{\left|\mathfrak{M}_{F}^{R}\right|^{2}} - \overline{\left|\mathfrak{M}_{F}^{L}\right|^{2}} &= -4C_{S}^{2}m_{N}^{2}Tr\big[2\alpha_{S}m_{e}\rlap{/}s_{R}\rlap{/}k'\big] - 4C_{V}^{2}m_{N}^{2}Tr\big[2\alpha_{S}m_{e}\rlap{/}s_{R}\gamma^{0}\rlap{/}k'\gamma^{0}\big] - \\ &- 8\operatorname{Re}\big[C_{S}C_{V}m_{N}^{2}Tr\big[(1-\alpha_{S}\alpha_{V})\gamma^{5}\rlap{/}k\rlap{/}s_{R}\rlap{/}k'\gamma^{0} + (\alpha_{S}-\alpha_{V})\rlap{/}k\rlap{/}s_{R}\rlap{/}k'\gamma^{0}\big]\big] \end{split}$$

Siamo quasi alla fine !!!

$$\begin{split} \overline{\left|\mathfrak{M}_{F}^{R}\right|^{2}} - \overline{\left|\mathfrak{M}_{F}^{L}\right|^{2}} &= -4C_{S}^{2}m_{N}^{2}Tr\big[2\alpha_{S}m_{e}\rlap{/}s_{R}\rlap{/}k'\big] - 4C_{V}^{2}m_{N}^{2}Tr\big[2\alpha_{V}m_{e}\rlap{/}s_{R}\gamma^{0}\rlap{/}k'\gamma^{0}\big] - \\ &- 8\operatorname{Re}\big[C_{S}C_{V}m_{N}^{2}Tr\big[(1-\alpha_{S}\alpha_{V})\sqrt{5}\rlap{/}k\rlap{/}s_{R}\rlap{/}k'\gamma^{0} + (\alpha_{S}-\alpha_{V})\rlap{/}k\rlap{/}s_{R}\rlap{/}k'\gamma^{0}\big]\big] \\ \overline{\left[Tr\big(\rlap{/}\mu\rlap{/}b\rlap{/}e\rlap{/}b\big)} &= 4\big[(a\cdot b)(c\cdot d) - (a\cdot c)(b\cdot d) + (a\cdot d)(b\cdot c)\big] \\ \overline{\left[Tr\big(\gamma^{\mu}\gamma^{\nu}\gamma^{\alpha}\gamma^{\beta}\gamma^{5}\big)} &= 4i\varepsilon^{\mu,\nu,\alpha,\beta} \right]} \overline{\left[\operatorname{Re}\big[4i\varepsilon^{\mu,\nu,\alpha,0}k_{\mu}\left(s_{R}\right)_{\nu}k_{\alpha}'\big]} = 0 \\ = -8C_{S}^{2}m_{N}^{2}\alpha_{S}m_{e}4\big(s_{R}\cdot k'\big) - 8C_{V}^{2}m_{N}^{2}\alpha_{V}m_{e}4\big(2s_{R}^{0}E_{\nu} - s_{R}\cdot k'\big) - \\ -8(\alpha_{S}-\alpha_{V})C_{S}C_{V}m_{N}^{2}4\big(s_{R}\sqrt{k}E_{\nu} - k\cdot k's_{R}^{0} + E_{e}s_{R}\cdot k'\big) \end{split}$$

- Ricordiamo la proprietà del vettore s^{μ} : $s_R {\cdot} k = 0$
- ullet Per finire, ricordiamo che $s_R,\,k,\,k'$ sono
 - Introduciamoli nel calcolo

$$s_R = \left(\frac{|\mathbf{k}|}{m_e}, \frac{E_e}{m_e} \frac{\mathbf{k}}{|\mathbf{k}|}\right) \qquad k' = (E_e, \mathbf{k})$$

$$k' = (E_\nu, \mathbf{k}_\nu)$$

$$\begin{aligned} & \overline{\left| \mathfrak{M}_F^R \right|^2} - \overline{\left| \mathfrak{M}_F^L \right|^2} = -8C_S^2 m_N^2 \alpha_S 4E_{\nu} E_e \left(\beta_e - \cos \theta_{e\nu} \right) - 8C_V^2 m_N^2 \alpha_V 4E_{\nu} E_e \left(\beta_e + \cos \theta_{e\nu} \right) - 8C_V^2 m_N^2 \alpha_V 4E_{\nu} E_e \left(\beta_e + \cos \theta_{e\nu} \right) - 8C_V^2 m_N^2 \alpha_V 4E_{\nu} E_e \left(\beta_e + \cos \theta_{e\nu} \right) - 8C_V^2 m_N^2 \alpha_V 4E_{\nu} E_e \left(\beta_e + \cos \theta_{e\nu} \right) - 8C_V^2 m_N^2 \alpha_V 4E_{\nu} E_e \left(\beta_e + \cos \theta_{e\nu} \right) - 8C_V^2 m_N^2 \alpha_V 4E_{\nu} E_e \left(\beta_e + \cos \theta_{e\nu} \right) - 8C_V^2 m_N^2 \alpha_V 4E_{\nu} E_e \left(\beta_e + \cos \theta_{e\nu} \right) - 8C_V^2 m_N^2 \alpha_V 4E_{\nu} E_e \left(\beta_e + \cos \theta_{e\nu} \right) - 8C_V^2 m_N^2 \alpha_V 4E_{\nu} E_e \left(\beta_e + \cos \theta_{e\nu} \right) - 8C_V^2 m_N^2 \alpha_V 4E_{\nu} E_e \left(\beta_e + \cos \theta_{e\nu} \right) - 8C_V^2 m_N^2 \alpha_V 4E_{\nu} E_e \left(\beta_e + \cos \theta_{e\nu} \right) - 8C_V^2 m_N^2 \alpha_V 4E_{\nu} E_e \left(\beta_e + \cos \theta_{e\nu} \right) - 8C_V^2 m_N^2 \alpha_V 4E_{\nu} E_e \left(\beta_e + \cos \theta_{e\nu} \right) - 8C_V^2 m_N^2 \alpha_V 4E_{\nu} E_e \left(\beta_e + \cos \theta_{e\nu} \right) - 8C_V^2 m_N^2 \alpha_V 4E_{\nu} E_e \left(\beta_e + \cos \theta_{e\nu} \right) - 8C_V^2 m_N^2 \alpha_V 4E_{\nu} E_e \left(\beta_e + \cos \theta_{e\nu} \right) - 8C_V^2 m_N^2 \alpha_V 4E_{\nu} E_e \left(\beta_e + \cos \theta_{e\nu} \right) - 8C_V^2 m_N^2 \alpha_V 4E_{\nu} E_e \left(\beta_e + \cos \theta_{e\nu} \right) - 8C_V^2 m_N^2 \alpha_V 4E_{\nu} E_e \left(\beta_e + \cos \theta_{e\nu} \right) - 8C_V^2 m_N^2 \alpha_V 4E_{\nu} E_e \left(\beta_e + \cos \theta_{e\nu} \right) - 8C_V^2 m_N^2 \alpha_V 4E_{\nu} E_e \left(\beta_e + \cos \theta_{e\nu} \right) - 8C_V^2 m_N^2 \alpha_V 4E_{\nu} E_e \left(\beta_e + \cos \theta_{e\nu} \right) - 8C_V^2 m_N^2 \alpha_V 4E_{\nu} E_e \left(\beta_e + \cos \theta_{e\nu} \right) - 8C_V^2 m_N^2 \alpha_V 4E_{\nu} E_e \left(\beta_e + \cos \theta_{e\nu} \right) - 8C_V^2 m_N^2 \alpha_V 4E_{\nu} E_e \left(\beta_e + \cos \theta_{e\nu} \right) - 8C_V^2 m_N^2 \alpha_V 4E_{\nu} E_e \left(\beta_e + \cos \theta_{e\nu} \right) - 8C_V^2 m_N^2 \alpha_V 4E_{\nu} E_e \left(\beta_e + \cos \theta_{e\nu} \right) - 8C_V^2 m_N^2 \alpha_V 4E_{\nu} E_e \left(\beta_e + \cos \theta_{e\nu} \right) - 8C_V^2 m_N^2 \alpha_V 4E_{\nu} E_e \left(\beta_e + \cos \theta_{e\nu} \right) - 8C_V^2 m_N^2 \alpha_V 4E_{\nu} E_e \left(\beta_e + \cos \theta_{e\nu} \right) - 8C_V^2 m_N^2 \alpha_V 4E_{\nu} E_e \left(\beta_e + \cos \theta_{e\nu} \right) - 8C_V^2 m_N^2 \alpha_V 4E_{\nu} E_e \left(\beta_e + \cos \theta_{e\nu} \right) - 8C_V^2 m_N^2 \alpha_V 4E_{\nu} E_e \left(\beta_e + \cos \theta_{e\nu} \right) - 8C_V^2 m_N^2 \alpha_V 4E_{\nu} E_e \left(\beta_e + \cos \theta_{e\nu} \right) - 8C_V^2 m_N^2 \alpha_V 4E_{\nu} E_e \left(\beta_e + \cos \theta_{e\nu} \right) - 8C_V^2 m_N^2 \alpha_V 4E_{\nu} E_e \left(\beta_e + \cos \theta_{e\nu} \right) - 8C_V^2 m_N^2 \alpha_V 4E_{\nu} E_e \left(\beta_e + \cos \theta_{e\nu} \right) - 8C_V^2 m_N^2 \alpha_V 4E_{\nu} E_e \left(\beta_e + \cos \theta_{e\nu} \right) - 8C_V^2$$





• Ricordiamo che

$$\wp = rac{\int \left(\overline{\left| \mathfrak{M}^R
ight|^2} - \overline{\left| \mathfrak{M}^L
ight|^2}
ight) d\Phi}{\int \left(\overline{\left| \mathfrak{M}^R
ight|^2} + \overline{\left| \mathfrak{M}^L
ight|^2}
ight) d\Phi}$$

• Il numeratore (risultato del calcolo precedente) è

$$\overline{\left|\mathfrak{M}_{F}^{R}\right|^{2}} - \overline{\left|\mathfrak{M}_{F}^{L}\right|^{2}} = -8C_{S}^{2}m_{N}^{2}\alpha_{S}4E_{\nu}E_{e}\left(\beta_{e} - \cos\theta_{e\nu}\right) - 8C_{V}^{2}m_{N}^{2}\alpha_{V}4E_{\nu}E_{e}\left(\beta_{e} + \cos\theta_{e\nu}\right) - 8C_{V}^{2}m_{N}^{2}\alpha_{V}AE_{\nu}E_{e}\left(\beta_{e} + \cos\theta_{e\nu}\right) - 8C_{V}^{2}m_{N}^{2}\alpha_{V}AE_{\nu}E_{\nu}E_{e}\left(\beta_{e} + \cos\theta_{e\nu}\right) - 8C_{V}^{2}m_{N}^{2}\alpha_{V}AE_{\nu}E_{\nu}E_{\nu}E_{\nu}E_{$$

• L'integrale sulle direzioni dell'elettrone e del neutrino elimina i termini dipendenti da $\cos\theta_{ev}$

$$-8C_{S}^{2}m_{N}^{2}\alpha_{S}4E_{\nu}E_{e}\beta_{e} - 8C_{V}^{2}m_{N}^{2}\alpha_{V}4E_{\nu}E_{e}\beta_{e}$$

- ullet Per quel che riguarda il denominatore notiamo che i termini \mathfrak{M}^R e \mathfrak{M}^L contengono rispettivamente $\frac{1}{2}(1-\gamma^5 \rlap/s_R)$ $\frac{1}{2}(1+\gamma^5 \rlap/s_R)$ • La somma di questi due termini è pertanto 1 contengono rispettivamente
- Il denominatore (integrato sulle direzioni) risulta uguale al risultato trovato per la distribuzione dell'energia

$$16m_{N}^{2}E_{e}E_{\nu}\left[C_{S}^{2}\left(1+\alpha_{S}^{2}\right)+C_{V}^{2}\left(1+\alpha_{V}^{2}\right)\right]$$

ullet Abbiamo usato il risultato sperimentale che l'interferenza di Fierz è 0

· La polarizzazione degli elettroni è pertanto

$$\wp = \frac{-8C_S^2 m_N^2 \alpha_S 4E_{\nu} E_e \beta_e - 8C_V^2 m_N^2 \alpha_V 4E_{\nu} E_e \beta_e}{16m_N^2 E_e E_{\nu} \left[C_S^2 \left(1 + \alpha_S^2 \right) + C_V^2 \left(1 + \alpha_V^2 \right) \right]}$$

$$\wp = -\beta_e \frac{2C_S^2 \alpha_S + 2C_V^2 \alpha_V}{C_S^2 (1 + \alpha_S^2) + C_V^2 (1 + \alpha_V^2)}$$

- Vedremo fra poco che gli studi sperimentali della polarizzazione degli elettroni hanno mostrato che $\wp = -\beta_e$
 - Pertanto le misure sperimentali richiedono che

$$\frac{2C_S^2\alpha_S + 2C_V^2\alpha_V}{C_S^2\left(1 + \alpha_S^2\right) + C_V^2\left(1 + \alpha_V^2\right)} = 1 \qquad 2C_S^2\alpha_S + 2C_V^2\alpha_V = C_S^2\left(1 + \alpha_S^2\right) + C_V^2\left(1 + \alpha_V^2\right)$$

$$C_S^2\left(1 + \alpha_S^2\right) - 2C_S^2\alpha_S + C_V^2\left(1 + \alpha_V^2\right) - 2C_V^2\alpha_V = 0$$

$$C_S^2\left(1 - \alpha_S^2\right)^2 + C_V^2\left(1 - \alpha_V^2\right)^2 = 0$$

- Ricordiamo che dalla misura della distribuzione dell'energia si conclude che il termine di interferenza di Fierz è assente
 - L'implicazione di questo risultato sulle costanti di accoppiamento è

$$C_S C_V \left(1 - \alpha_S \alpha_V \right) = 0$$

- · Abbiamo già notato non possiamo trarre conclusioni solo da questo risultato
- D'altro canto, dalla misura delle correlazioni angolari

$$a_F = \frac{C_V^2 (1 + \alpha_V^2) - C_S^2 (1 + \alpha_S^2)}{C_V^2 (1 + \alpha_V^2) + C_S^2 (1 + \alpha_S^2)} = 1$$

Questo risultato implica

$$C_V^2 + \alpha_V^2 - C_S^2 (1 + \alpha_S^2) = C_V^2 (1 + \alpha_V^2) + C_S^2 (1 + \alpha_S^2) - C_S^2 (1 + \alpha_S^2) = + C_S^2 (1 + \alpha_S^2)$$

- Da cui, come prima dell'introduzione della violazione della parità $C_S=0$
- Combinando questo risultato con la misura della polarizzazione

$$C_V^2 (1 - \alpha_S)^2 + C_V^2 (1 - \alpha_V)^2 = 0 \qquad C_V^2 (1 - \alpha_V)^2 = 0 \qquad \alpha_V = 1$$